

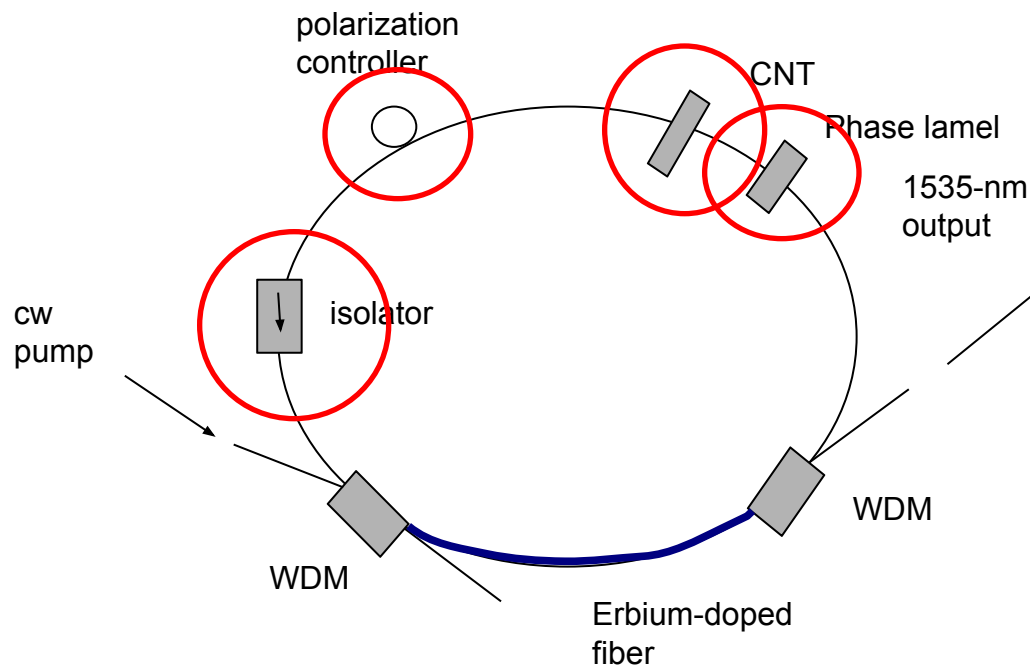
# Моделирование поляризионной неустойчивости в эрбиевых волоконных лазерах

*Институт вычислительных технологий СО РАН  
Новосибирский государственный университет*

*Юшко О.В.*

*Научный руководитель: Федорук М.П.*

# Основные элементы экспериментальной установки



Основными элементами кольцевого резонатора являются:

**Изолятор** – контроль за направлением распространения волны,  
**Контроллер поляризации** – контроль за эффектом двулучепреломления,  
**Фазовая пластина** - для пассивной синхронизации мод (суммарная мощность максимальна),  
**CNT** – пластина, с нанесенным слоем углеродных нанотрубок, создает эффект насыщающегося поглотителя.

# Математическая модель

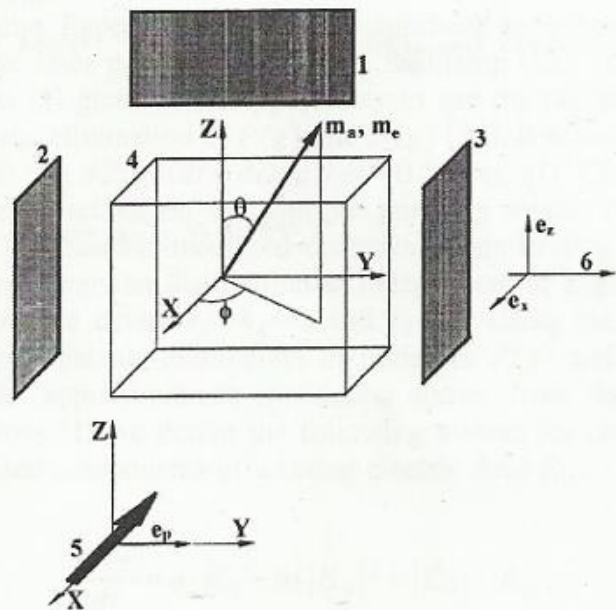


FIG. 1. Scheme of the ring cavity dye laser with linearly polarized pumping. 1, 2, and 3 show the cavity mirrors, 4 the dye cell, 5 the pumping radiation, and 6 the output emission.

\*

1. Emmanuel Desurvire «Erbium Doped Fiber Amplifiers»
2. S.V. Sergeev «Spontaneous light-polarization symmetry breaking for an anisotropic ring-cavity die laser» », Physical Review a, vol.59, 1999.
3. H. Zeglache, A. Boulnois «Polarization instability in lasers. I. Model and steady states of neodymium-doped fiber lasers», Physical Review A, vol.52, 1995;

# Математическая модель.

## Допущения.

---

Переход от модели Nd – лазера или лазера на красителях к модели легированного Er лазера возможен благодаря:

1. Аналогичной 4 – х уровневой системы возбужденных состояний атома Er;
2. Записи уравнений поля, учитывающей только общие эффекты (такие эффекты как, например, броуновское движение молекул в красителе, вводятся в систему позже в виде дополнительных членов);
3. Записи уравнений для эволюции поля, позволяющей не учитывать специфичность резонатора на красителях (пространственное распределение компонент поля).

# Математическая модель.

## Уравнения поляризионной динамики\*.

$$\frac{d\mathbf{E}}{dt} = (\mathbf{D} + \ln(\mathbf{T}) - \alpha_4 \mathbf{I})(\mathbf{E} + \delta \mathbf{u})$$

T – моделирование  
контроллера  
поляризации

$$\mathbf{E} = \begin{bmatrix} E_x \\ E_y \end{bmatrix}, \quad \mathbf{D} = \begin{bmatrix} D_{xx} & D_{xy} \\ D_{yx} & D_{yy} \end{bmatrix}, \quad \mathbf{T} = \begin{bmatrix} A+iB & C+iD \\ -C+iD & A-iB \end{bmatrix}, \quad \mathbf{I} = \begin{bmatrix} 1 & 0 \\ 0 & 1 \end{bmatrix}, \quad \mathbf{u} = \begin{bmatrix} 1 \\ 1 \end{bmatrix}$$

$$\frac{dn(\theta)}{dt} = \varepsilon \left( (\mathbf{m}_a \mathbf{e}_p)^2 (1 - n(\theta)) I_p - n(\theta) - (\beta n(\theta) - 1) R(\theta) \right)$$

Распределение  
дипольных моментов

$$D_{xx} = \frac{1}{2\pi} \int_0^{2\pi} (\cos(\theta))^2 \left[ \alpha_1 (\beta n(\theta) - 1) - \frac{\alpha_2}{1 + \alpha_3 R(\theta)} \right] d\theta,$$

$$D_{yy} = \frac{1}{2\pi} \int_0^{2\pi} (\sin(\theta))^2 \left[ \alpha_1 (\beta n(\theta) - 1) - \frac{\alpha_2}{1 + \alpha_3 R(\theta)} \right] d\theta,$$

$$D_{yx} = D_{xy} = \frac{1}{2\pi} \int_0^{2\pi} \cos(\theta) \sin(\theta) \left[ \alpha_1 (\beta n(\theta) - 1) - \frac{\alpha_2}{1 + \alpha_3 R(\theta)} \right] d\theta,$$

$$R(\theta) = \cos^2(\theta) E_x E_x^* + \sin^2(\theta) E_y E_y^* + \cos(\theta) \sin(\theta) (E_x E_y^* + E_y E_x^*),$$

$$A = -\cos(\psi_1) \cos(\psi_2), \quad B = -\sin(\psi_3) \sin(\psi_1),$$

$$C = -\cos(\psi_1) \sin(\psi_2), \quad D = -\sin(\psi_1) \cos(\psi_3).$$

Влияние  
поляризационных  
эффектов

\*получена Сергеем Сергеевым

# Эффекты поляризационной динамики

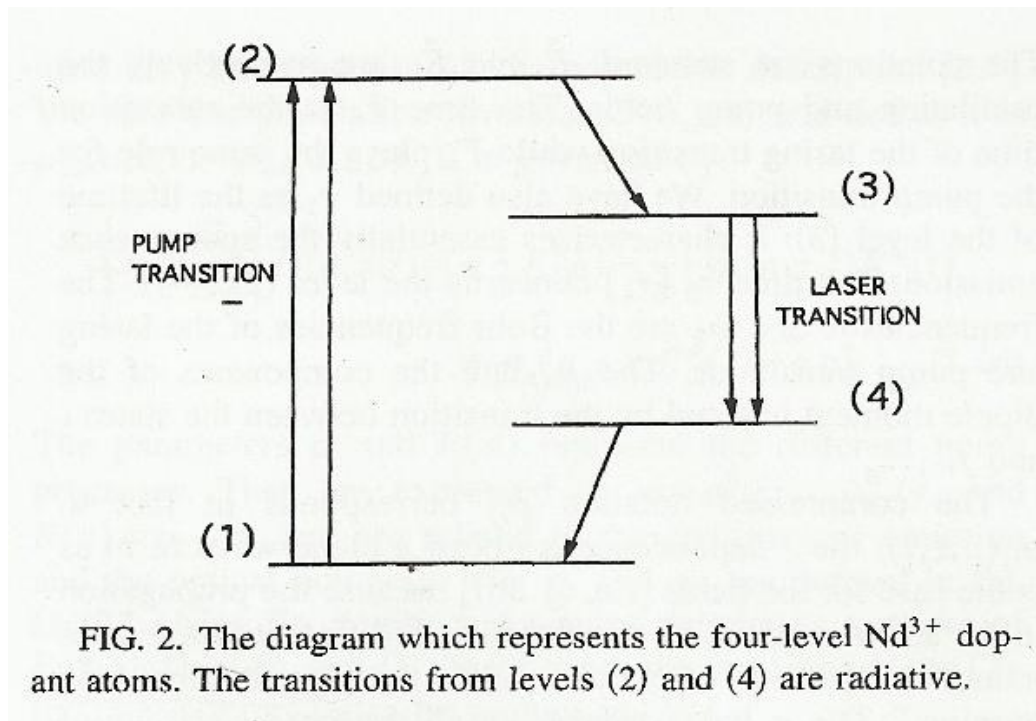


FIG. 2. The diagram which represents the four-level Nd<sup>3+</sup> dopant atoms. The transitions from levels (2) and (4) are radiative.

- Спонтанное нарушение поляризации
- Поляризационный выжиг дыр

# Используемые параметры:

---

$$\alpha_1 = 800/\ln(10)$$

$$\alpha_2 = 0.136$$

$$\alpha_3 = 0.001$$

$$\alpha_4 = 50/\ln(10)$$

$$\beta = 5/3$$

$$(m_a e_p)^2 = 0.5$$

$$I_p = 50$$

$$\varepsilon = 10^{-4}$$

резонатора

возбужденном

$$\delta = 10^{-4}$$

$$\psi_1 = \pi/2, \psi_3 = \pi/4, \psi_2 = 0$$

- нормированное усиление для  $E_r$
- поглощение сигнала в нанотрубках
- $P_{sat}/P_{Er}$
- нормированные потери в резонаторе

- $(\sigma_{em} - \sigma_{abs})/\sigma_{abs}$
- циркулярно поляризованная накачка
- мощность накачки

- отношение времени обхода

к времени жизни в первом

состоянии для  $E_r$

- коэффициент спонтанной эмиссии

- углы фазовых пластин

# Параметры Стокса. Сфера Пуанкаре.

## Параметры Стокса:

$$E_{x,y} = E_{0x,y} \cos(-\omega t - Kz + \varphi_{x,y}) = \text{Re}\{E_{0x,y} \exp[i(-\omega t - Kz + \varphi_{x,y})]\}$$

$$\frac{E_x^2}{E_{0x}^2} + \frac{E_y^2}{E_{0y}^2} - 2 \frac{E_x E_y}{E_{0x} E_{0y}} \cos \varphi = \sin^2 \varphi$$

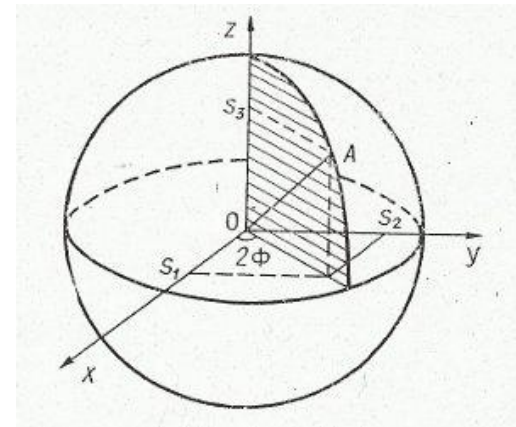
$$s_0 = E_{0x}^2 + E_{0y}^2,$$

$$s_1 = E_{0x}^2 - E_{0y}^2,$$

$$s_2 = 2E_{0x}E_{0y} \cos \varphi$$

$$s_3 = 2E_{0x}E_{0y} \sin \varphi$$

$$s_0^2 = s_1^2 + s_2^2 + s_3^2$$



## Сфера Пуанкаре:

$$s_1 = s_0 \cos 2\xi' \cos 2\Phi,$$

$$s_2 = s_0 \cos 2\xi' \sin 2\Phi,$$

$$s_3 = s_0 \sin 2\xi'$$

А.П. Войтович «Лазеры с анизотропными резонаторами», Наука и техника, 1988

# Численная Схема. Метод Рунге-Кутты для жестких систем\*.

---

Для нелинейной системы вида  $y' = f(x, y)$ :

$$y_{n+1} = y_n + \frac{1}{6}k_1 + \frac{2}{3}k_4 + \frac{1}{6}k_3$$

$$k_1 = hf(y_n),$$

$$k_2 = hf\left(y_n + \frac{1}{3}k_1\right),$$

$$k_3 = hf\left(y_n + \frac{1}{6}k_1 + \frac{1}{6}k_2\right),$$

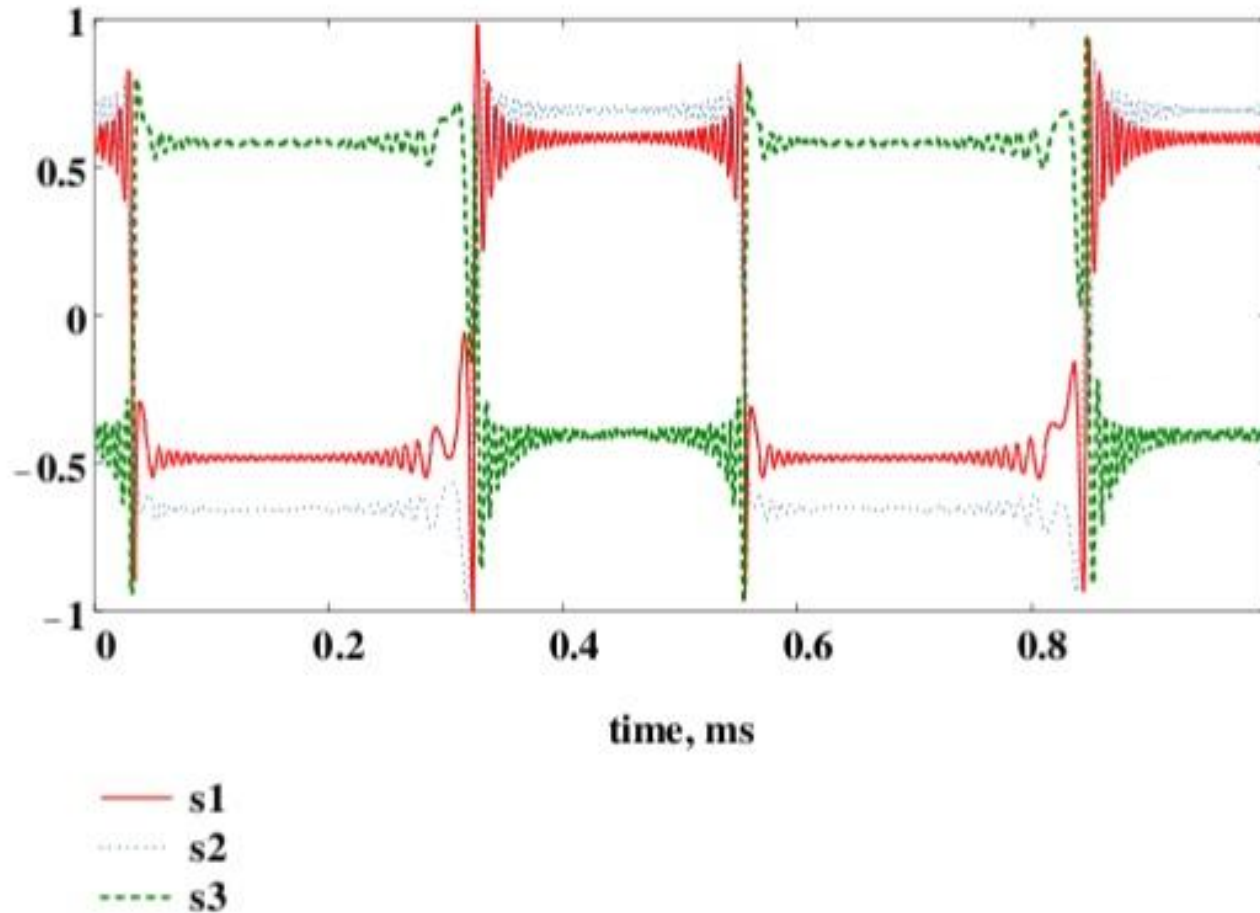
$$k_4 = hf\left(y_n + \frac{1}{8}k_1 + \frac{3}{8}k_3\right),$$

$$k_5 = hf\left(y_n + \frac{1}{5}k_1 - \frac{3}{2}k_3 + 2k_4\right).$$

\* Е.А. Новиков «Явные методы для жестких систем», «Наука», Сибирское предприятие РАН, 1997

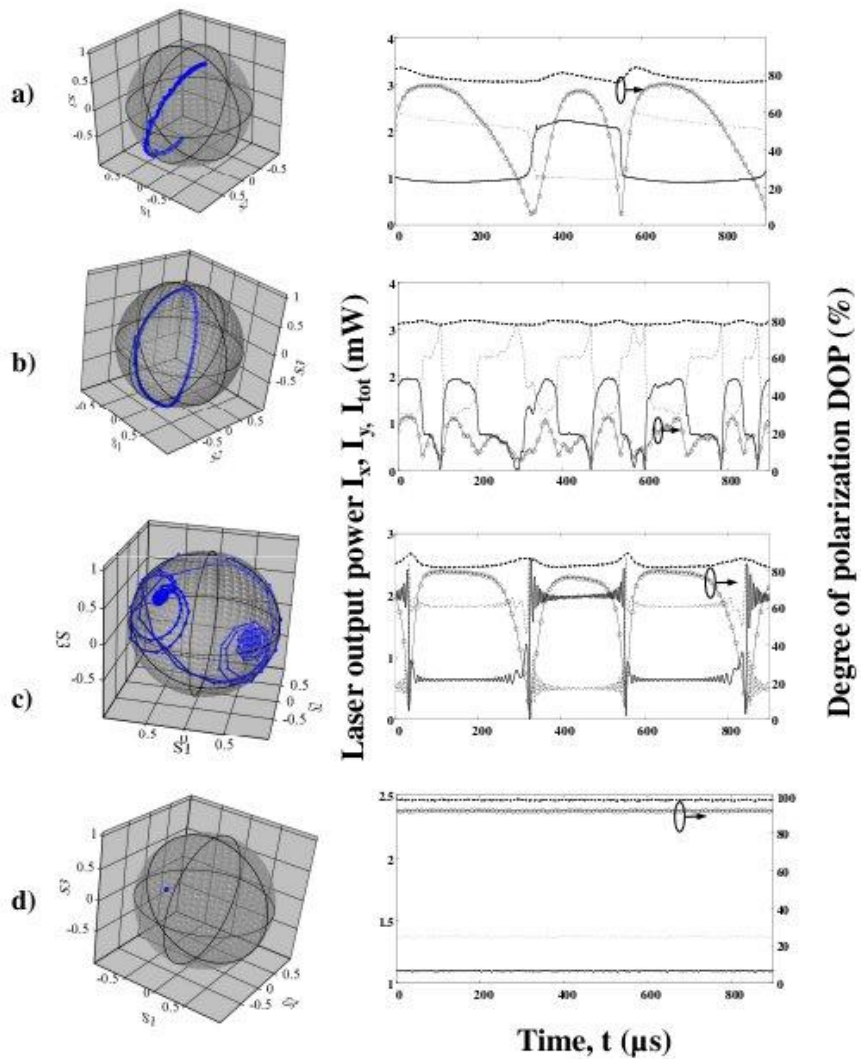
# Результаты эксперимента\*.

---



\* Авторы: Сергей Турицын, Сергей Сергеев,  
2011г

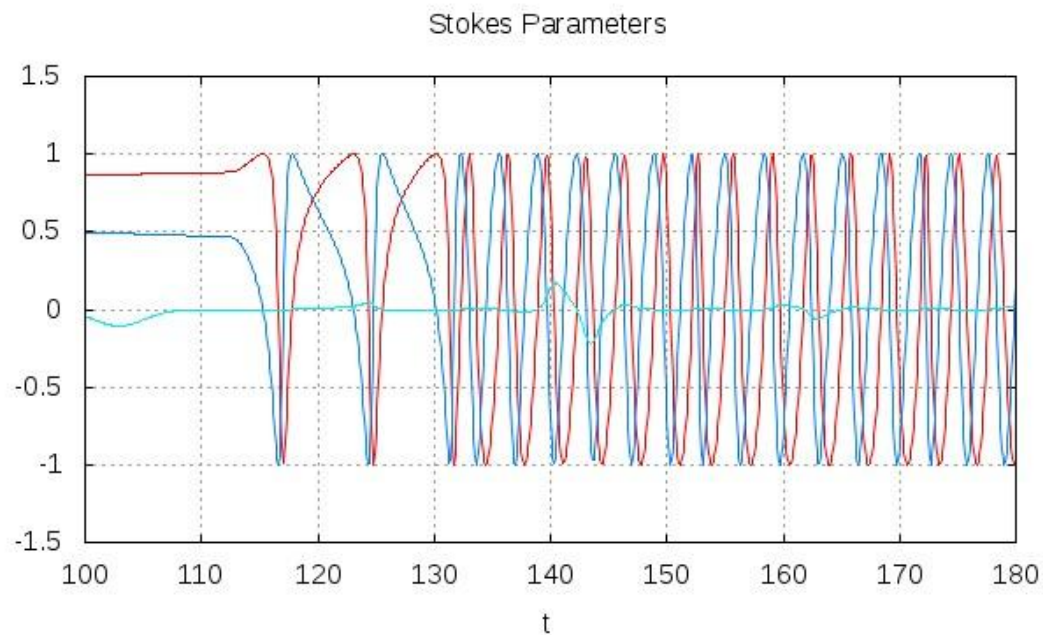
# Результаты эксперимента\*.



\* Авторы: Сергей Турицын,  
Сергей Сергеев, 2011г

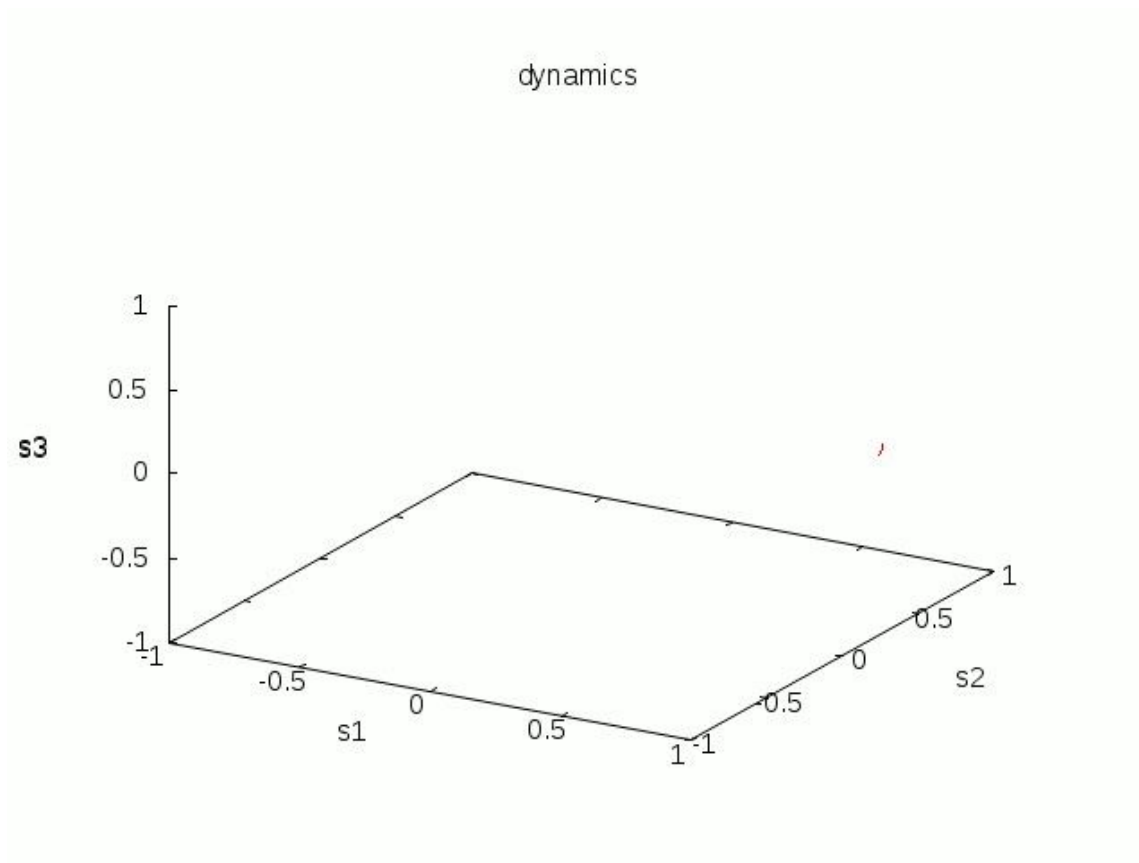
# Результаты численного моделирования. Тестовая задача на автоосцилляции.

---



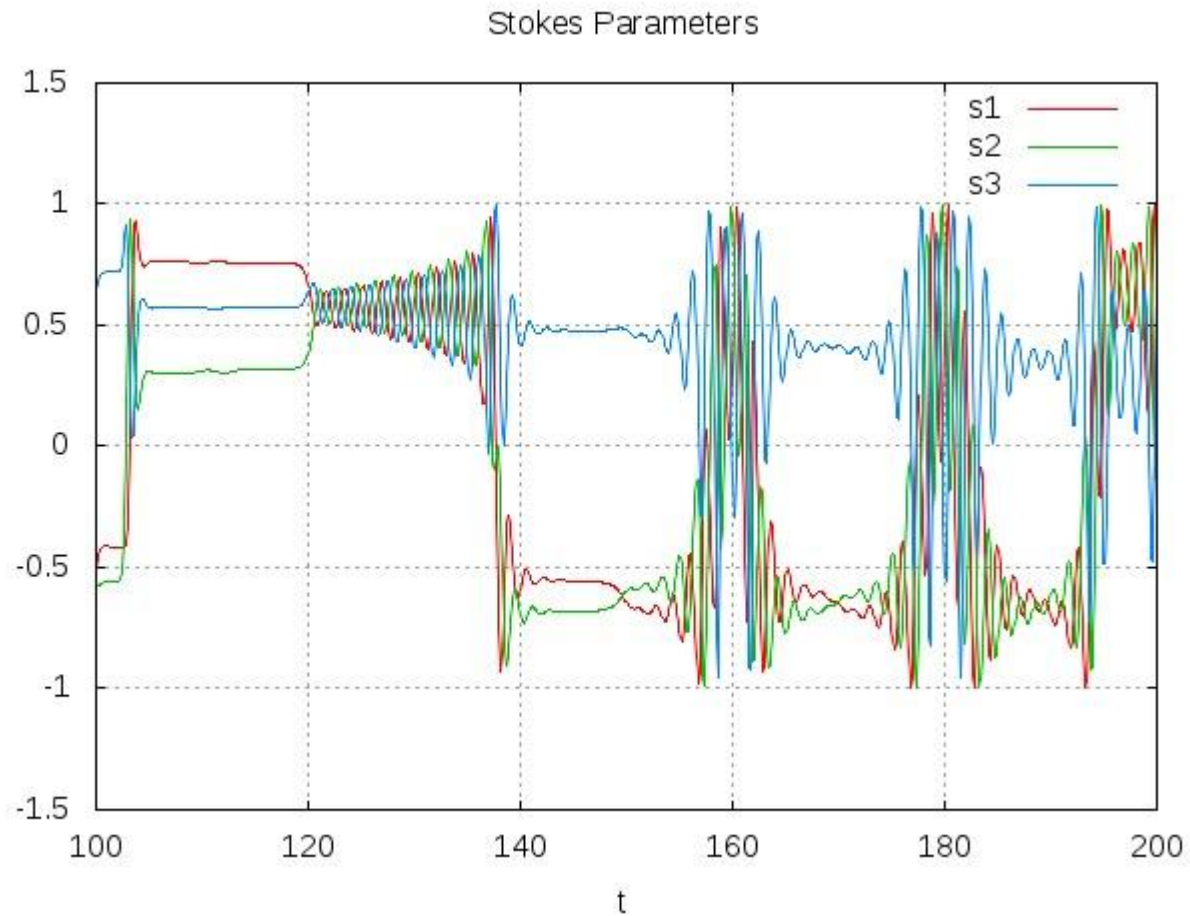
# Результаты численного моделирования. Тестовая задача на автоосцилляции.

---



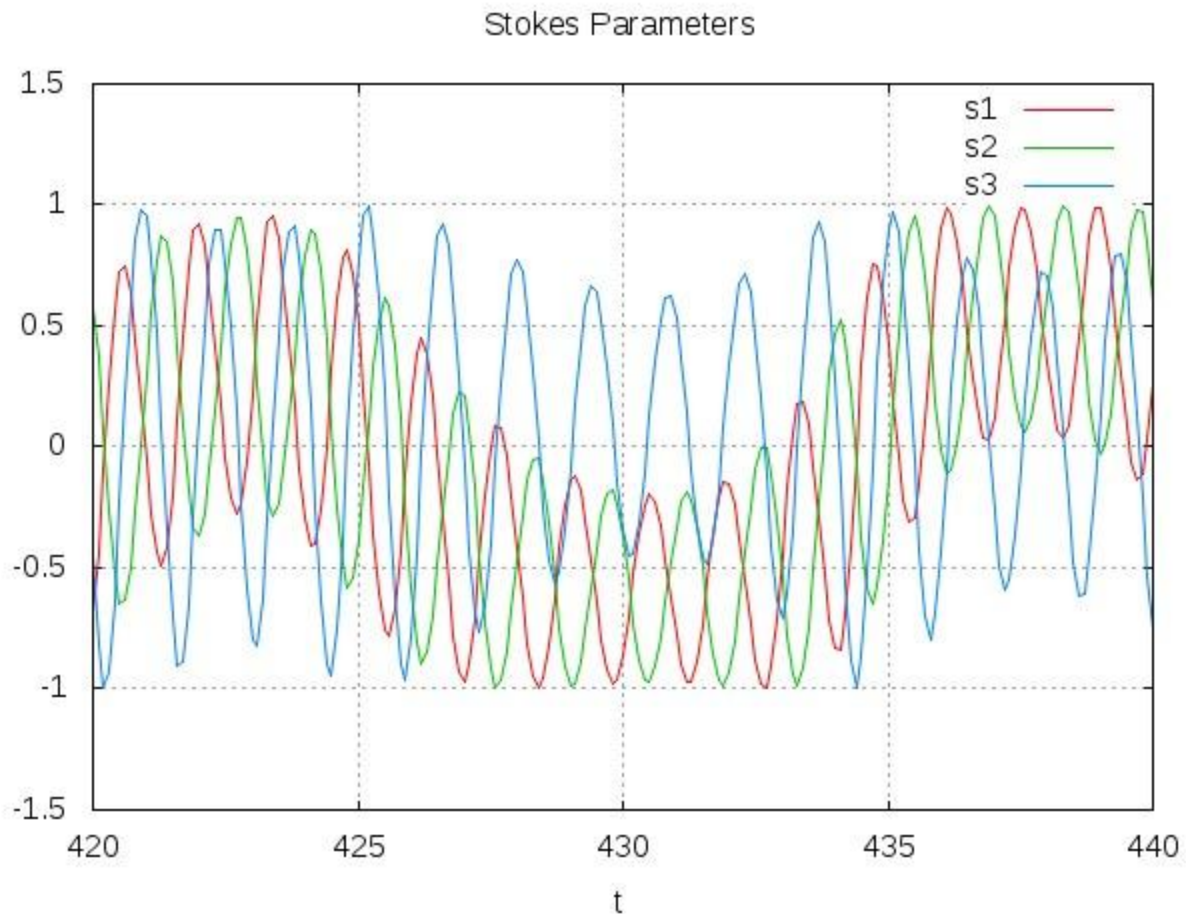
# Результаты численного моделирования.

---



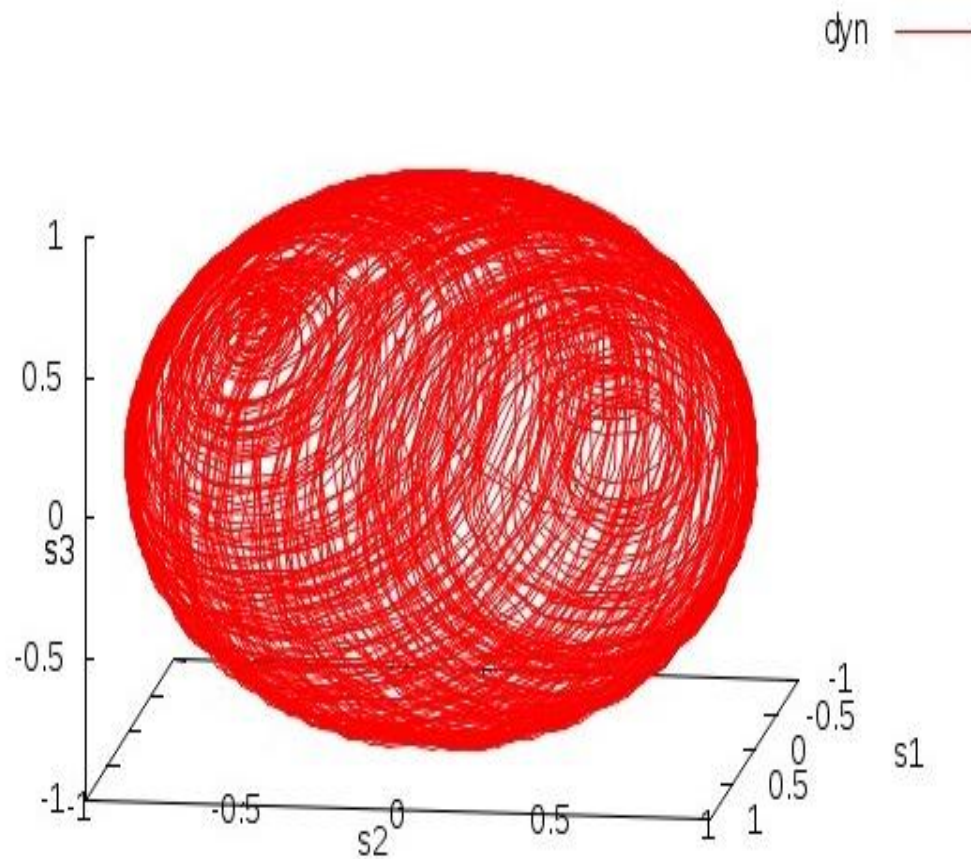
# Результаты численного моделирования.

---



# Результаты численного моделирования.

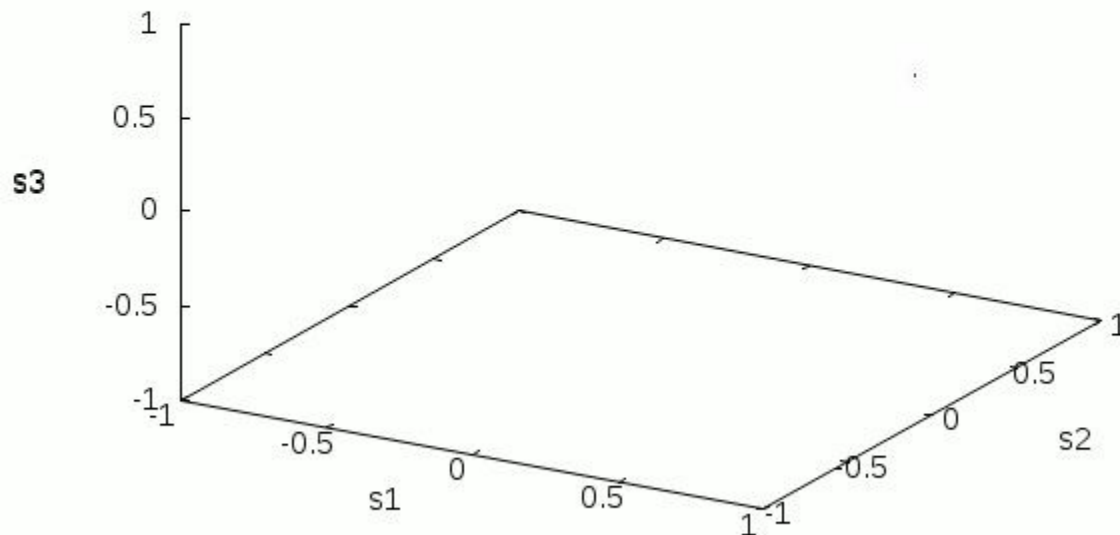
---



# Результаты численного моделирования.

---

dynamics



**Спасибо за внимание!**